

骶髂关节结核的临床特点及诊治

金格勒,阿 曼,盛伟斌,王武昌,买尔旦,邓 强,哈巴西,崔 泳

(新疆医科大学第一附属医院骨科 830054 乌鲁木齐)

中图分类号:R529.2 文献标识码:B 文章编号:1004-406X(2008)-05-0399-02

骶髂关节结核约占骨关节结核的 8%, 其临床表现、诊断及其治疗有其特殊性, 临幊上有很高的漏诊、误诊率, 可高达 61% 和 92%^[1]。笔者对本院近 5 年收治的 29 例骶髂关节结核患者的病史、体征、分型及治疗方法进行分析, 以期提高早期诊断率, 及时治疗。

临床资料 自 1999 年 12 月至 2005 年 1 月我院共收治骶髂关节结核患者 29 例, 男 10 例, 女 19 例, 年龄 14~62 岁, 平均 38 岁; 病程 1~24 个月, 平均 7 个月。症状及体征见表 1。早期均行骨盆 X 线平片检查, 同时行骶髂关节 CT 检查, 可见关节间隙增宽或变窄, 骨质硬化、破坏或死骨。病变位于左侧 17 例, 右侧 11 例, 双侧 1 例。合并有胸腰椎结核 5 例, 髋关节及耻骨结核 4 例, 肺结核 5 例, 淋巴结核 3 例, 其他部位结核 2 例。根据 Kim 分型^[2], I 型 1 例, II 型 3 例, III 型 9 例, IV 型 16 例。

治疗方法及结果 单纯抗痨治疗共 5 例, 1 例 I 型和 3 例 II 型患者经过单纯抗痨治疗后治愈, 1 例 IV 型患者因不能耐受手术, 单纯抗痨治疗 10 个月后死

表 1 本组 29 例骶髂关节结核患者临床表现

临床表现	有症状、体征		无症状、体征		诊断符合率
	例数(%)	例数(%)	例数(%)	例数(%)	
症状					
臀部疼痛	23(79.3)		6(20.7)		
下腰痛	20(68.9)		9(31.1)		
疲乏	17(58.6)		12(41.4)		
纳差	14(48.3)		15(51.7)		
下肢放射痛	10(34.5)		19(65.5)		
发热盗汗	8(27.5)		21(72.5)		
呼吸道症状	6(20.7)		23(79.3)		
体征					
下腰部压痛	27(93.1)		2(6.9)		
臀部压痛	26(89.7)		3(10.3)		
骨盆分离挤压试验	16(55.1)		13(44.9)		
盖斯兰试验	15(51.7)		14(48.3)		
4字试验	13(44.8)		16(55.1)		
包块、肿痛	9(31.1)		20(68.9)		

第一作者简介:男(1963-), 医学博士, 主任医师, 副教授, 硕士生导师, 研究方向:脊柱外科, 创伤骨科, 骨组织工程

电话:(0991)4362829 E-mail:jingl81@yahoo.com.cn

亡。手术治疗 24 例, 均为 III 型和 IV 型患者, 不伴活动性肺结核, 均在四联抗痨治疗 2~3 周后结核中毒症减轻、血红蛋白 >100g/L, ESR <60mm/h 时进行手术治疗。根据脓肿位置采用前路、后路或前后联合入路行病灶清除、骶髂关节植骨融合术, 其中后路手术 19 例, 前入路手术 4 例, 前后路分期手术 1 例。手术所见与影像学表现符合情况见表 2。术后继续抗痨治疗 6 个月, 卧床 3 个月, 其中获得随访的 12 例均为临床治愈: 无结核中毒症, 无臀部疼痛及腰痛等症状, 影像学检查无关节死骨、骨质破坏等改变, ESR <20mm/h, 植骨愈合(图 1~3)。

表 2 24 例手术患者 X 线平片及 CT 主要征象与手术诊断符合率

	X 线平片		CT		手术所见	
	例数	%	例数	%	例数	%
关节间隙改变	18	75.0	22	91.7	23	95.8
骨质破坏	17	70.8	21	87.5	24	100
骨脓肿	11	45.8	13	54.2	22	91.7
死骨	16	66.7	19	79.1	24	100
骨硬化	17	70.8	23	95.8	16	66.7
诊断符合率	15	62.5	21	87.5	24	100

讨论 骶髂关节结核从病理学上可分为滑膜型、骨型、全关节型, 绝大多数始于滑膜部, 但滑膜型结核早期症状不典型, 大多数骶髂关节结核发现时已是全关节型。因骶髂关节病变时对关节侵犯引起功能丧失不明显, 症状表现往往不明显^[3]。Richter 报道骶髂关节结核以下腰及臀部疼痛不适最多见(约 70%~80%), 体征方面则多表现为下腰及臀部压、叩痛(93.1% 和 89.7%), 极少出现臀部包块。因此, 临幊上遇有上述症状和体征时要高度警惕, 摄 X 线片对比观察左右骶髂关节, 但对于骶髂关节面的微细变化观察不甚清楚。原因是骶髂关节耳状关节面呈波浪状, 并与身体纵轴矢状面有 15° 的夹角, 在骨盆正位像难以显示骶髂关节面, 应摄骶髂关节正位片, 即令患者处于仰卧位, 患侧臀抬高 15°, 以充分显示骶髂关节面。早期可显示关节间隙增宽, 关节面模糊; 晚期可显示骨质破坏、死骨、硬

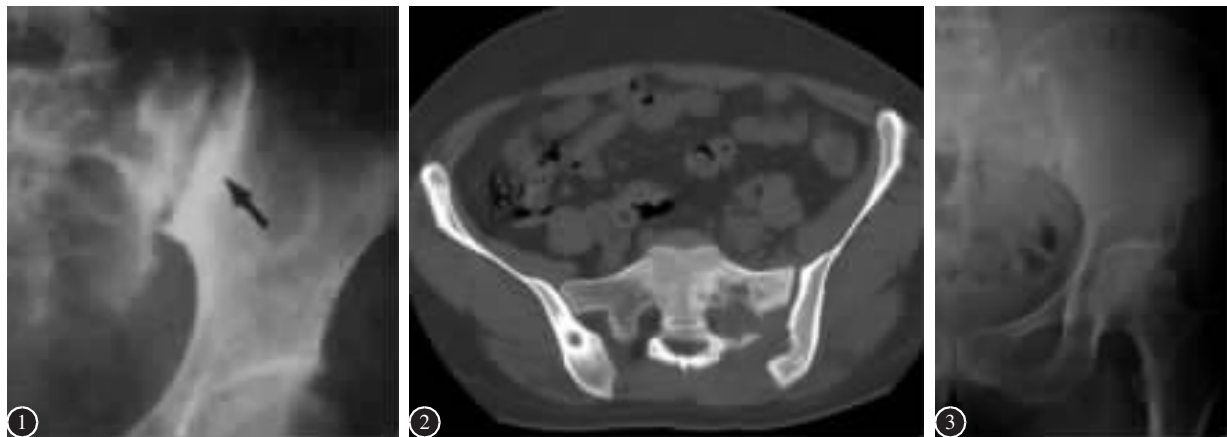


图1 术前X线片示骶髂关节骨质破坏,有死骨形成
图2 术前CT示关节间隙增宽,关节面破坏
图3 后路病灶清除植骨融合术后1年X线片示植骨处关节融合

化甚至囊性变。本组X线诊断符合率仅为62.5%。

CT能显示早期滑膜增厚及周围较小的圆形或楔形骨质破坏,双侧对比能显示关节间隙轻微增宽,提高早期诊断率^[4]。另外,对晚期病例,可充分显示死骨、硬化骨、脓肿、窦道。CT检查有助于了解骶髂关节滑膜、关节软骨、死骨、干酪样组织及骨质病变和关节周围器官组织的关系,并可了解臀部或骶前脓肿的大小、形态及与周围器官组织的关系。本组CT检查诊断符合率为87.5%。

由于该病发病率较低,解剖及病理有其特殊性,症状、体征表现不典型,X-线诊断符合率较低,极易造成漏诊、误诊。本组病例1/3漏诊、误诊,确诊时绝大多数已属晚期病变,值得重视。必要时可行MRI、同位素、穿刺、细菌学及病理学检查,以进一步提高早期诊断率。腰椎间盘突出症、腰椎不稳定、腰椎结核致密性骨炎、类风湿性关节炎、强直性脊柱炎等疾病与骶髂关节结核在早期症状上有相似之处,需鉴别^[5]。

对骶髂关节结核的治疗包括:全身治疗(休息、营养、一般支持疗法)、局部制动,药物化疗及外科治疗等。分型是治疗方法选择的重要依据,I、II型可采用保守治疗,III型、IV型应行药物+手术治疗。手术目的在于彻底清除病灶内结核性病变物质如干酪、肉芽、死骨及坏死组织和脓肿,切除瘘管、融合稳定骶髂关节。

骶髂关节结核病灶清除术有前后两种途径,通常都采用后路手术。因该入路较简单和安全可靠,同时将自体髂骨植入关节间,使骶髂关节得到骨性融合,增加其稳定性,提高治愈率。而对少数病灶局限于骶骨且脓肿局限于骶前者可采用前方入路。骶髂关节骨质破坏

较严重,臀部和骶前均有较大脓肿者可前后路同期手术或前后路分期手术,通常先行前路手术,术后4~6周再行后路手术。原因是如先行后路手术,术后因患者体位和重力作用,骶前病变及脓液污染手术区域。本组19例采用后路手术,4例采用前路手术,1例行前后分期手术。

为预防术后复发,对合并脓肿、窦道的骶髂关节结核,手术时应注意以下几点:首先,对骶后脓肿合并窦道者,在清除脓肿及窦道的同时,需做骶后骨开窗术进入关节,彻底清除关节内死骨及干酪样组织。其次,合并骶前脓肿及窦道者,需做骶前入路病灶清除,彻底刮除关节内死骨及干酪样组织。另外,不管是保守治疗还是手术治疗,都必须坚持化疗,并遵循规律、全程、足量、联合用药的化疗原则。

参考文献

- Watts HG, Lifeso RM. Tuberculosis of bones and joints[J]. J Bone Joint Surg Am, 1996, 78(3):288~298.
- Kim NH, Lee HM, Yoo JD, et al. Sacroiliac joint tuberculosis. Classification and treatment[J]. Clin Orthop, 1999, 358:215~222.
- Murat B, Fatih K, Nuri A, et al. Tuberculous spondylitis of the lumbosacral region[J]. Spine, 2005, 18(5):425~429.
- Rosenberg D, Baskies AM, Deckers PJ, et al. Pyogenic sacroiliitis: an absolute indication for computerized tomographic scanning[J]. Clin Orthop, 1984, 184:128~132.
- 郑金龙, 韩萍, 史河水, 等. 骶髂关节病变的CT诊断[J]. 实用放射学杂志, 2002, 12(1):22~25.

(收稿日期:2007-08-06 修回日期:2007-10-08)

(本文编辑 卢庆霞)